



دانشگاه گنبدکاووس

نشریه "حفاظت زیست‌بوم گیاهان"

دوره هشتم، شماره شانزدهم

<http://pec.gonbad.ac.ir>

رابطه خشکه‌دارها با خصوصیات فیزیکی و شیمیایی خاک و کرم خاکی در توده جنگلی پهن برگ آمیخته (مطالعه موردی: جنگل سرچشمه چالوس)

سعید شعبانی^{۱*}، علی ستاریان^۲

^۱ استادیار پژوهشی بخش تحقیقات منابع طبیعی، مرکز تحقیقات و آموزش کشاورزی و منابع طبیعی گلستان، گرگان

^۲ دانشیار گروه زیست‌شناسی، دانشکده علوم پایه و فنی و مهندسی، دانشگاه گنبدکاووس، گنبدکاووس

تاریخ پذیرش: ۱۳۹۸/۱۲/۲۱

تاریخ دریافت: ۱۳۹۸/۰۹/۰۹

چکیده

حفاظت از خشکه‌دارها، اثرات مهمی بر ساختار و بیوشیمی فرآیندهای جاری در زیست‌بوم‌های جنگلی می‌گذارد. برخی از خصوصیات پویایی این درختان در مطالعات موردتوجه قرار گرفته‌اند، اما مطالعه در مورد شدت پوسیدگی و نوع گونه خشکه‌دار، با ویژگی‌های خاک اطراف، کمتر موردتوجه قرار گرفته است. لذا هدف مطالعه حاضر لذا بررسی تأثیر شدت پوسیدگی و نوع گونه‌های خشکه‌دار، بر عناصر معدنی خاک در جنگل‌های منطقه سرچشمه چالوس می‌باشد. بدین منظور، از ترانسکت‌های نواری با عرض ۱۰ متر و فاصله ۸۰ متر از یکدیگر استفاده و مجموعاً ۷۱ خشکه‌دار افتاده شناسایی گردید. بعد از تعیین نوع گونه، پایه‌ها برحسب میزان پوسیدگی در یکی از چهار طبقه پوسیدگی (خشکه‌دار تازه، شروع پوسیدگی، پوسیدگی پیشرفته و پوسیدگی کامل) قرار گرفتند. به‌منظور بررسی ویژگی‌های خاک، نمونه خاک از عمق ۰ - ۳۰ سانتی متر در نزدیک‌ترین نقطه از هر خشکه‌دار برداشت شد. درصد نیتروژن کل، فسفر قابل جذب (ppm)، درصد پتاسیم، میزان pH، درصد رطوبت خاک، درصد کربن، C/N و زی‌وزن کرم‌های خاکی (گرم) در این مطالعه بررسی شدند. جهت تعیین رابطه بین خشکه‌دار و مشخصه‌های خاکی موردبررسی، از روش تجزیه به مؤلفه‌های اصلی (PCA) و تجزیه واریانس استفاده گردید. نتایج نشان داد رابطه‌ای قوی بین مقادیر کربن و C/N با گونه بلوط وجود داشت. عناصر غذایی خاک به همراه pH و درصد رطوبت، ارتباط معنی‌داری را در سطح احتمال ۵ درصد با گونه‌های مرمرز و توسکا نشان دادند. درصد نیتروژن، فسفر (ppm) و زی‌وزن کرم خاکی (گرم) به ترتیب با مقادیر ۰/۷۶، ۱۵/۵۳ و ۲۶/۶۱، بیشترین سطح را در درجه چهارم پوسیدگی داشتند و دو درجه اول پوسیدگی با یکدیگر اختلافی نداشتند. درصد پتاسیم، pH خاک و درصد رطوبت از درجه اول تا چهارم پوسیدگی افزایش یافته بود. بر مبنای نتایج مطالعه حاضر مبنی بر نقش مهم خشکه‌دارها در غنای خاک جنگل، خشکه‌دارها می‌بایست در هر اکوسیستم طی عملیات‌های جنگلداری مورد حمایت قرار بگیرند تا بهره‌وری خاک حفظ گردد.

* نویسنده مسئول: saeidshabani07@gmail.com

مقدمه

در تفکر جنگل‌شناسی و جنگل‌داری نزدیک به طبیعت، سعی بر آن است تا مهم‌ترین مؤلفه‌های جنگل بکر، در محیط‌هایی که با فعالیت‌های انسانی دستخوش تغییرات گردیده است، شبیه‌سازی شده و دخالت‌های انسان روی آن مؤلفه به حداقل ممکن برسد (Van Der Meer et al., 1999). این در حالی است که در روش‌های کلاسیک جنگل‌شناسی، توجه خاصی به جایگاه خشکه‌دار در یک زیست‌بوم جنگلی نشده و در بسیاری از موارد، این مؤلفه‌های بسیار مهم از عرصه جنگل‌ها حذف می‌گردد. خشکه‌دارها، متشکل از درختان خشکیده سرپا، تنه‌های افتاده، اسنگ‌ها و کنده‌ها می‌باشند (Błońska et al., 2017). زادآوری انواع گونه‌های درختی، به وجود خشکه‌دار بستگی دارد. خشکه‌دار، علاوه بر تأمین بستر مناسب جهت رویش انواع بذر، در طول مراحل رویش، از نهال‌های استقرار یافته محافظت می‌نماید (Angers et al., 2005). نقش خشکه‌دار در تنوع زیستی، در مطالعات متعددی گزارش گردیده است (Sefidi and Etemad, 2015; Nappi et al., 2015). ایجاد تنوع زیستی به‌وسیله خشکه‌دار، فقط در گیاهان خلاصه نمی‌شود و بر روی تنوع جانوری نیز تأثیرگذار می‌باشد. شاید بتوان این گونه بیان کرد که وجود خشکه‌دار بیش از آن‌که روی گیاهان تأثیرگذار باشد، نقش خود را روی تنوع، حفظ و حمایت از جانوران نمایان ساخته است (Johnston et al., 1994). از این‌رو از خشکه‌دار به‌عنوان زیست‌جای^۱ نیز نام برده می‌شود (Harmon et al., 1986). وجود انواع جانوران بی‌مهره و مهره‌دار در خشکه‌دار، به‌وضوح نشان‌دهنده توان بالای این مؤلفه ارزشمند در مناطق جنگلی است.

در کنار جایگاه خشکه‌دار در بهبود زادآوری و حفظ تنوع زیستی، خشکه‌دار منبعی مهم، حاوی عناصر و مواد غذایی در اکوسیستم جنگلی محسوب می‌شود. طی فرآیند تجزیه خشکه‌دار، برخی از این عناصر در جو آزاد شده و بخشی از آن ذخیره می‌گردد (Błońska et al., 2017). تنفس، دگرگونی یا تبدیل، قطعه‌قطعه شدن و آبشویی، فرآیندهای اصلی درگیر در تجزیه خشکه‌دارها می‌باشند (Magnússon et al. 2016). میزان عناصر آزادشده، به نوع گونه‌های درختی نیز بستگی دارد. افزایش کربن، نیتروژن، فسفر و پتاسیم در نتیجه افزایش درجه پوسیدگی در مطالعات گزارش گردیده است (Meller et al., 2019; Kim et al., 2017). بلونسکا و همکاران (Błońska et al., 2017) نشان دادند که تجمع بسیاری از عناصر غذایی و فعالیت‌های آنزیمی خاک، با نوع خشکه‌دار، گونه درختی و درجه پوسیدگی در ارتباط است.

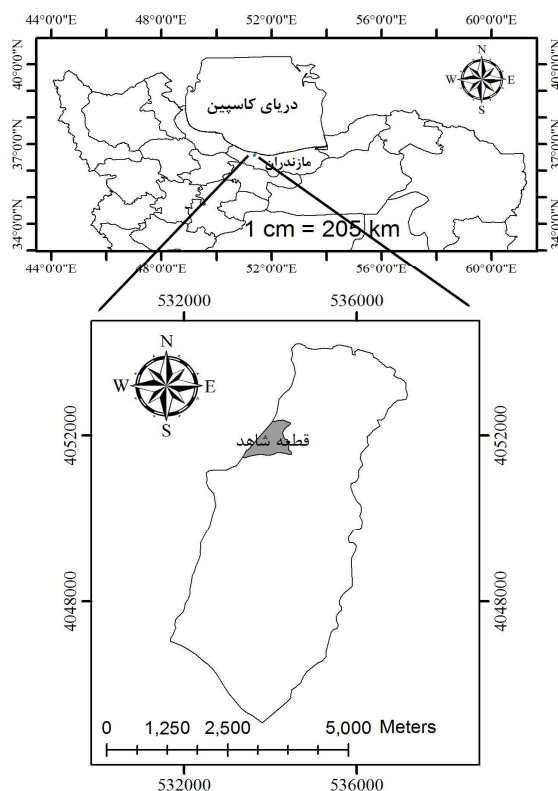
^۱Biotop

آنچه بیان گردید، جایگاه خشکه‌دار را به‌خوبی نشان می‌دهد. بنابراین شناخت هر چه بیشتر و گسترده‌تر این مؤلفه جهت حفظ و ارتقای مدیریت زیست‌بوم‌های جنگلی امری ضروری و مهم است. تاکنون مطالعاتی که در کشور بر روی خشکه‌دار انجام شده، به اثرات ثانوی آن‌ها از قبیل زادآوری و ایجاد تنوع زیستی پرداخته است (سفیدی و همکاران، ۱۳۸۶؛ علی‌دادی و همکاران، ۱۳۹۳) و مطالعات در مورد تأثیر خشکه‌دار روی شرایط خاک منطقه بسیار محدود بوده است (کیا لاشکی و شعبانی، ۱۳۸۹). شکل‌گیری خشکه‌دار و مراحل تجزیه آن، فرآیند پیچیده‌ای است که ماحصل آن، تغییر و تفاوت در ویژگی‌های خاک است. شناخت تغییرات ویژگی‌های خاک، یکی از پایه‌های مدیریت اصولی جنگل است، که بسیاری از فعالیت‌های مدیریتی و جنگل‌شناسی از جمله تعیین حاصلخیزی رویشگاه و نرخ رویش توده، تحت تأثیر آن قرار دارد؛ لذا هدف مطالعه حاضر آن است که تأثیر شدت پوسیدگی و نوع گونه‌های خشکه‌دار را بر عناصر معدنی خاک در جنگل‌های منطقه سرچشمه چالوس مورد بررسی قرار دهد. بر مبنای مطالب ذکر شده سؤالات اصلی تحقیق عبارت است از ۱) هر یک از گونه‌های خشکه-دار در عرصه مورد بررسی چه اثراتی بر ویژگی‌های خاک ایجاد می‌کنند؟ ۲) با افزایش شدت پوسیدگی خشکه‌دار، مشخصه‌های خاک و زی‌وزن کرم خاکی چه تغییراتی دارد؟

مواد و روش‌ها

منطقه مورد مطالعه

منطقه مورد مطالعه، قطعه شاهد از سری سرچشمه چالوس از حوزه آبخیز کجور می‌باشد که با دامنه ارتفاعی ۴۰۰ تا ۸۰۰ متر و مساحت ۸۷ هکتار در عرض جغرافیایی ۳۶ درجه و ۳۶ دقیقه تا ۳۶ درجه و ۳۷ دقیقه شمالی و طول جغرافیایی ۵۱ درجه و ۲۲ دقیقه تا ۵۱ درجه و ۲۳ دقیقه شرقی واقع شده است (شکل ۱). متوسط بارندگی سالیانه حوزه آبخیز، ۹۲۰/۱ میلی‌متر و متوسط دمای سالیانه آن ۱۶/۲ درجه سانتی‌گراد می‌باشد. نوع سنگ مادر منطقه قهوه‌ای شسته شده با افق آرژیلیک و بافت خاک در بالارسی لومی و در پایین رسی است. همچنین تیپ غالب منطقه بلوط - ممرز با گونه‌های همراه توسکا، شیردار و اوجا می‌باشد (بی‌نام، ۱۳۹۰).



شکل ۱- منطقه مورد مطالعه واقع در قطعه شاهد سری سرچشمه شهرستان چالوس

نمونه برداری و اندازه گیری مشخصه های خاک: برای بررسی خشکه دار، در ۸۷ هکتار از منطقه مورد مطالعه، ۱۴ نوار با عرض ۱۰ متر و فاصله ۸۰ متر از یکدیگر، در راستای شمالی - جنوبی استقرار یافت و ۷۱ خشکه دار در مسیر مورد شناسایی قرار گرفت (Aakala et al., 2008). فراوانی گونه های مختلف خشکه دار، در جدول ۱ ارائه گردیده است. استقرار اولین نوار آمار برداری به صورت تصادفی انجام پذیرفت و در ادامه سایر نوارها با فواصل مشخص شده در منطقه پیاده شدند. در مجموع طول نوارهای پیاده شده، بیش از ۹۲۷۰ متر بود. ابتدا نوع گونه مورد نظر مشخص شده و برحسب میزان پوسیدگی در یکی از طبقه های چهارگانه پوسیدگی مطابق جدول ۲ قرار گرفت (Sefidi and Etemad, 2015). به منظور بررسی خاک، نمونه از عمق صفر تا ۳۰ سانتیمتر در نزدیک ترین نقطه از هر خشکه دار، برداشت گردید (Spears and Lajtha, 2004) (شکل ۲). درصد نیتروژن کل، فسفر قابل جذب (ppm)، درصد پتاسیم، میزان pH، درصد رطوبت خاک، درصد کربن، C/N و زی وزن کرم های خاکی (گرم) در این

مطالعه بررسی شدند. درصد نیتروژن به روش کجدال^۱، فسفر قابل جذب به روش اولسن^۲ (ppm)، درصد پتاسیم به روش فلیم فتومتری^۳، اسیدیته خاک با pH متر، درصد کربن به روش والکی بلک^۴ اندازه-گیری شد (غازان‌شاهی، ۱۳۸۵). کرم‌های خاکی نیز در دمای ۶۰ درجه سلسیوس به مدت ۴۸ ساعت خشک شدند و وزن خشک آن‌ها به گرم اندازه‌گیری گردید (غازان‌شاهی، ۱۳۸۵).

جدول ۱- فراوانی خشکه‌دار هر گونه در منطقه موردبررسی

گونه‌ها	بلوط	اوجا	شیردار	توسکا	ممرز
فراوانی خشکه‌دار	۱۲	۱۲	۱۳	۱۵	۱۹

جدول ۲- تعریف هر یک از طبقه‌های پوسیدگی خشکه‌دار

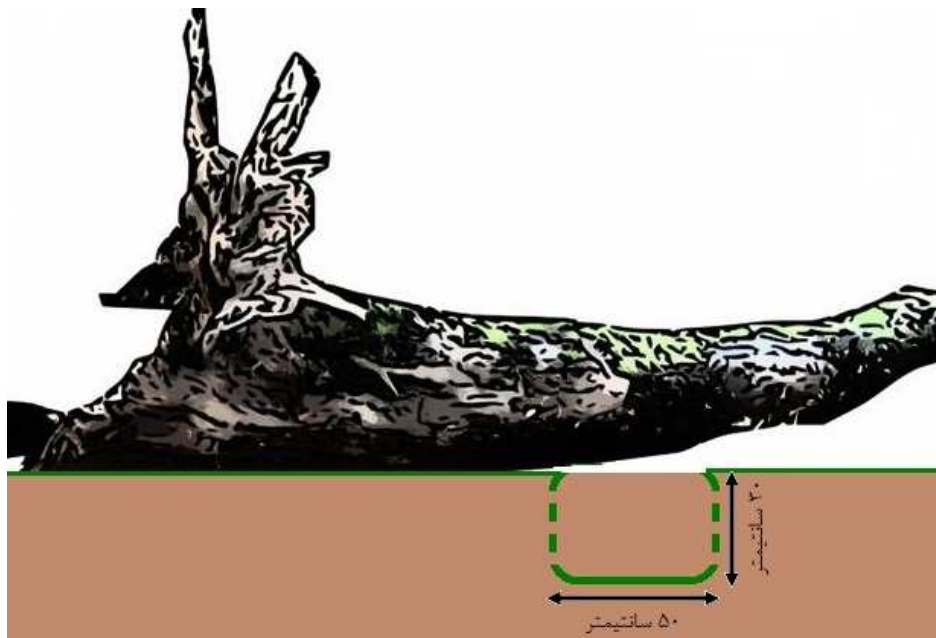
طبقه‌های پوسیدگی	تشریح
اول (خشکه‌دار تازه)	درخت تازه خشک‌شده، برگ و جوانه ندارد و بدون تغییر مشخص در ظاهر و پوست
دوم (شروع پوسیدگی)	تجزیه و پوسیدگی در تنه شروع شده و رنگ چوب عوض شده ولی چوب هنوز سفت است و خصوصیات فیزیکی و شیمیایی آن عوض نشده است
سوم (پوسیدگی پیشرفته)	رنگ و خصوصیات فیزیکی و شیمیایی چوب عوض شده است و از شکل اولیه خارج شده است
چهارم (پوسیدگی کامل)	چوب کاملاً پوسیده‌شده که با ضربه خرد می‌شود

¹ Kjeldahl

² Olsen

³ Flam Photometry

⁴ Walkley-black



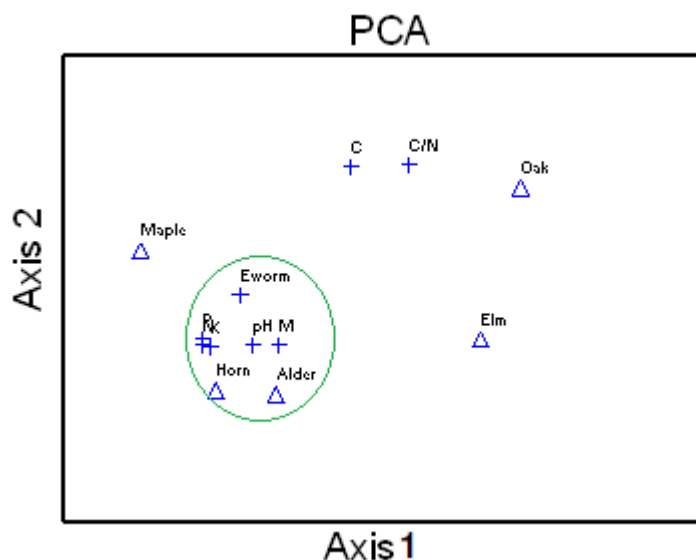
شکل ۲- موقعیت نمونه برداری خاک در نزدیک ترین نقطه به خشکه دار

تجزیه و تحلیل داده‌ها

جهت تعیین رابطه بین انواع خشکه دار و مشخصه‌های خاکی مورد بررسی، از تجزیه به مؤلفه‌های اصلی (PCA) استفاده گردید. برای تجزیه و تحلیل داده‌ها، ابتدا نرمال بودن و همگنی داده‌ها به ترتیب با آزمون‌های کولموگروف اسمیرنوف و لون مورد بررسی قرار گرفت. سپس، به منظور بررسی اثر عوامل مورد مطالعه، از تجزیه واریانس دوطرفه در قالب طرح فاکتوریل استفاده شد. در مواردی که هر یک از مدل‌های خطی مورد استفاده، اثر عاملی را معنی‌دار نشان دادند آزمون SNK برای تفکیک تیمارها (نوع گونه و درجه پوسیدگی) مورد استفاده قرار گرفت (Muscolo et al., 2007). در این مطالعه، تجزیه به مؤلفه‌های اصلی با نرم افزار PC-ORD نسخه ۴/۱۷، تجزیه و تحلیل آماری به کمک نرم افزار SPSS نسخه ۱۵ و ترسیم شکل‌ها با Excel نسخه ۲۰۱۳ انجام گرفت.

نتایج

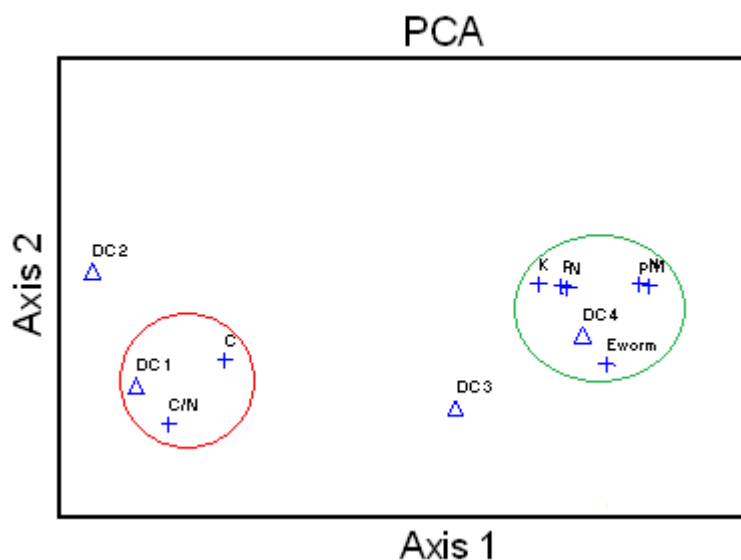
مطابق نتایج، از ۷۱ خشکه دار افتاده مورد مطالعه، گونه ممرز با ۱۹ خشکه دار، بیشترین فراوانی را به خود اختصاص داد (جدول ۲). فراوانی خشکه دار در درجه‌های مختلف پوسیدگی نیز نشان داد که درجه



شکل ۳- پراکنش انواع خشکهدار و مؤلفه‌های خاکی روی محور PCA (Oak: بلوط، Elm: اوجا، Maple: شیردار، Alder: توسکا، Hornbeam: ممرز)

پوسیدگی چهارم با ۲۲ خشکهدار، بیشترین فراوانی را دربرداشت و بعدازآن درجه‌های پوسیدگی سوم، اول و دوم به ترتیب با ۱۸، ۱۶ و ۱۵ خشکهدار قرار می‌گرفتند.

نتایج تجزیه به مؤلفه‌های اصلی نشان داد، محور اول ۸۳/۲ و محور دوم ۱۰/۰۱ درصد از تغییرات بین گونه‌های مختلف خشکهدار و مشخصه‌های خاک را توجیه می‌نماید (شکل ۳). در این رابطه یافته‌ها مشخص نمود، رابطه‌ای قوی بین مقادیر درصد کربن و نسبت کربن به نیتروژن با خشکهدار بلوط وجود داشت. عناصر غذایی خاک به همراه pH و درصد رطوبت نیز با خشکهدارهای ممرز و توسکا ارتباط نزدیکی داشتند، به طوری که می‌توان آن‌ها را به صورت یک گروه جدا نمود (شکل ۳). به علاوه پراکنش درجه‌های پوسیدگی چهارگانه و مشخصه‌های خاک بر روی دیاگرام تجزیه به مؤلفه‌های اصلی نشان می‌دهد، دو محور اول و دوم به ترتیب ۸۷/۶۰ و ۱۲/۰۳ درصد از تغییرات را توجیه می‌نمایند که بر این اساس بین درجه پوسیدگی چهارم و مشخصه‌های غذایی خاک همبستگی بالایی وجود داشت (شکل ۴).



شکل ۴- پراکنش درجه‌های پوسیدگی و مؤلفه‌های خاکی روی محورهای PCA

تمامی مشخصه‌های خاک به‌استثنای درصد کربن، بین درجه‌های پوسیدگی در سطح احتمال ۵ درصد، اختلاف معنی‌داری داشتند (جدول ۳). درصد نیتروژن، فسفر قابل جذب (ppm) و زی‌وزن کرم خاکی (گرم) به ترتیب با مقادیر ۰/۷۶، ۱۵/۵۳ و ۲۶/۶۱، بیشترین مقدار را در درجه چهارم داشتند و دو درجه اول پوسیدگی با یکدیگر اختلافی نشان ندادند (جدول ۵). درصد پتاسیم، pH خاک و درصد رطوبت از درجه اول تا چهارم پوسیدگی افزایش یافته بود. نسبت کربن به نیتروژن نیز با مقادیر ۴۰/۲۸ و ۲۴/۶۴، در اطراف خشکه‌دارهای با درجه پوسیدگی اول و چهارم، به ترتیب بیشترین و کمترین مقدار را نشان داد (جدول ۵).

بعلاوه، نتایج اثر متقابل بین نوع گونه و درجه پوسیدگی، نشان‌دهنده آن بود که تنها چهار مشخصه خاک شامل کربن، نیتروژن، C/N و فسفر، تغییرات معنی‌دار داشته‌اند (جدول ۳). بر این اساس، کمترین و بیشترین درصد کربن به ترتیب در اطراف خاک ممرز با درجه پوسیدگی اول و بلوط با درجه پوسیدگی چهارم و با مقادیر ۱۰/۱۰ و ۲۳/۱۰ مشاهده گردید (جدول ۶). بالاترین درصد نیتروژن، در اطراف خشکه‌دار ممرز با درجه پوسیدگی چهارم به مقدار ۰/۹۳ و کمترین آن در اطراف خشکه‌دار ممرز با درجه پوسیدگی اول و به مقدار ۰/۳۸ ثبت شد (جدول ۶). مقدار C/N در اطراف ممرز با درجه‌های پوسیدگی سوم و چهارم پایین‌ترین و در خاک اطراف خشکه‌دار بلوط با درجه پوسیدگی دوم و با مقدار ۴۷/۸۵ بالاترین بود (جدول ۶). بعلاوه خاک اطراف خشکه‌دار اوجا با درجه پوسیدگی اول و با مقدار

۷/۵۰، کمترین و ممرز با درجه پوسیدگی چهارم با مقدار ۲۰/۴۴، بیشترین مقدار فسفر را در برداشتند (جدول ۶).

جدول ۳- تجزیه واریانس مشخصه‌های خاک در اطراف گونه‌های مختلف و درجه‌های پوسیدگی در سطح احتمال ۵ درصد

Sig.	F آماری	تیمارها	مشخصه‌های خاک
۰/۰۰	۳۵/۴۹	نوع گونه	نیترژن (%)
۰/۰۰	۱۰۲/۳۲	درجه پوسیدگی	
۰/۰۰	۱۵/۸۵	نوع گونه × درجه پوسیدگی	
۰/۰۰	۳۹/۰۱	نوع گونه	فسفر قابل جذب (ppm)
۰/۰۰	۱۲۰/۰۶	درجه پوسیدگی	
۰/۰۰	۲۱/۰۳	نوع گونه × درجه پوسیدگی	
۰/۰۰	۶۰/۸۱	نوع گونه	پتاسیم (%)
۰/۰۰	۲۴۷/۵۹	درجه پوسیدگی	
۰/۱۶۳	۱/۵۰	نوع گونه × درجه پوسیدگی	
۰/۰۰	۶۶/۱۴	نوع گونه	pH
۰/۰۰	۷۲/۴۸	درجه پوسیدگی	
۰/۱۸۴	۱/۴۴	نوع گونه × درجه پوسیدگی	
۰/۰۰	۲۶۵/۲۰	نوع گونه	کربن (%)
۰/۰۰	۲۷/۸۲	درجه پوسیدگی	
۰/۰۳۴	۲/۱۴	نوع گونه × درجه پوسیدگی	
۰/۰۰	۱۶۰/۶۸	نوع گونه	C/N
۰/۰۰	۳۳/۰۷	درجه پوسیدگی	
۰/۰۰	۴/۳۵	نوع گونه × درجه پوسیدگی	
۰/۵۶۹	۰/۷۴	نوع گونه	رطوبت (%)
۰/۰۰	۲۴۷/۵۹	درجه پوسیدگی	
۰/۱۶۳	۱/۵۰	نوع گونه × درجه پوسیدگی	
۰/۰۰۲	۵/۱۰	نوع گونه	زی‌وزن کرم خاکی (گرم)
۰/۰۰۱	۶/۷۴	درجه پوسیدگی	
۰/۵۶	۰/۸۹	نوع گونه × درجه پوسیدگی	

جدول ۴- مقایسه میانگین SNK در مشخصه‌های خاک بین گونه‌های مختلف در سطح احتمال ۵ درصد

متغیرها	بلوط	اوجا	شیردار	توسکا	ممرز
نیترژن (%)	۰/۴۶ (۰/۰۱) c	۰/۴۵ (۰/۰۲) c	۰/۵۹ (۰/۰۴) b	۰/۶۲ (۰/۰۴) b	۰/۸۰ (۰/۰۵) a
فسفر قابل جذب (ppm)	۹/۵۳ (۰/۴۷) c	۹/۸۶ (۰/۴۵) c	۹/۸۳ (۰/۴۳) c	۱۱/۵۲ (۰/۶۴) b	۱۶/۵۸ (۱/۱۲) a
پتاسیم (%)	۹/۱۳ (۰/۸۱) e	۱۱/۱۲ (۱/۳۱) d	۱۲/۸۳ (۱/۱۰) c	۱۴/۷۹ (۱/۰۶) b	۱۶/۳۴ (۰/۷۲) a
pH	۵/۳۹ (۰/۱۲) d	۵/۶۵ (۰/۱) c	۵/۶۷ (۰/۱۱) c	۶/۳ (۰/۱۲) b	۶/۷۳ (۰/۱) a
کربن (%)	۲۰/۸۵ (۰/۴) a	۱۹/۳۸ (۰/۳۲) b	۱۷/۹۷ (۰/۲۲) c	۱۵/۹۷ (۰/۲۷) d	۱۲/۷۶ (۰/۳۶) e
C/N	۴۵/۹۸ (۰/۸۱) a	۴۳/۰۳ (۱/۵۱) b	۳۲/۰۵ (۲/۲۲) c	۲۶/۸۸ (۱/۷۲) d	۱۷/۰۳ (۱/۰۶) e
رطوبت (%)	۵۴/۱۰ (۰/۸۱) a	۵۴/۱۴ (۱/۳۱) a	۵۴/۳۳ (۱/۱۰) a	۵۵/۷۰ (۱/۰۶) a	۵۶/۳۴ (۰/۷۲) a
زیوزن کرم خاکی (گرم)	۱/۶۷ (۰/۹۸) e	۲/۸۸ (۱/۸۸) d	۶/۸۰ (۲/۴۷) c	۲۳/۲۷ (۵/۳۴) b	۲۸/۵۳ (۴/۱۳) a

مقادیر ارائه شده در جدول به ترتیب نشان‌دهنده میانگین و اشتباه معیار می‌باشد.

جدول ۵- مقایسه میانگین SNK در مشخصه‌های خاک بین درجه‌های پوسیدگی در سطح احتمال ۵ درصد

متغیرها	اول	دوم	سوم	چهارم
نیترژن (%)	۰/۴۲ (۰/۰۱) c	۰/۴۳ (۰/۰۱) c	۰/۶۲ (۰/۰۴) b	۰/۷۶ (۰/۰۴) a
فسفر قابل جذب (ppm)	۸/۱۹ (۰/۱۴) c	۸/۳۲ (۰/۳۳) c	۱۲/۱۷ (۰/۴۸) b	۱۵/۵۳ (۰/۹۴) a
پتاسیم (%)	۷/۳۵ (۰/۷۷) d	۹/۰۶ (۰/۵۶) c	۱۳/۳۲ (۰/۵۰) b	۱۷/۳۰ (۰/۴۳) a
pH	۵/۱۹ (۰/۱۶) d	۵/۶۱ (۰/۱۱) c	۶ (۰/۱۳) b	۶/۵۸ (۰/۰۹) a
کربن (%)	۱۶/۹۳ (۱/۱۲) a	۱۶/۶۵ (۱/۰۵) a	۱۷/۱۶ (۰/۸۳) a	۱۶/۸۶ (۰/۷۰) a
C/N	۴۰/۲۸ (۲/۴۱) a	۳۸/۸۲ (۲/۵۵) a	۳۰/۵۴ (۲/۹۴) b	۲۴/۶۴ (۲/۴۹) c
رطوبت (%)	۵۰/۱ (۰/۲۲) d	۵۱/۴۵ (۰/۲۵) c	۵۵/۵ (۰/۲۴) b	۵۸/۶۳ (۰/۱۷) a
زیوزن کرم خاکی (گرم)	۰ (۰) c	۴/۱۵ (۳/۱۸) c	۱۳/۰۵ (۳/۰۱) b	۲۶/۶۱ (۳/۸۵) a

مقادیر ارائه شده در جدول به ترتیب نشان‌دهنده میانگین و اشتباه معیار می‌باشد.

جدول ۶- مقایسه میانگین مشخصه‌های خاک بین اثرهای متقابل مختلف (نوع گونه × درجه پوسیدگی)

نوع گونه × درجه پوسیدگی	کربن (%)	نیترژن (%)	نسبت کربن به نیترژن	فسفر قابل جذب (ppm)
بلوط درجه اول	۱۹/۳۳ (۰/۰۹) bcd	۰/۴۲ (۰/۰۱) jk	۴۵/۷۳ (۱/۱۴) bc	۸/۲۷ (۰/۱۵) defg
بلوط درجه دوم	۲۰/۰۵ (۰/۱۶) bc	۰/۴۲ (۰/۰۱) jk	۴۷/۸۵ (۱/۴۸) a	۷/۸۳ (۱/۰۸) fg
بلوط درجه سوم	۲۱/۰۶ (۰/۶۲) b	۰/۴۷ (۰) g	۴۴/۵۹ (۱/۰۲) bcd	۱۰/۸۲ (۰/۲۵) cde
بلوط درجه چهارم	۲۳/۱۰ (۰) a	۰/۵۱ (۰/۰۳) f	۴۶/۰۲ (۳/۱۲) b	۱۰/۹۰ (۰/۳۸) cde
اوجا درجه اول	۱۸/۲ (۰) cdef	۰/۴۱ (۰) k	۴۴/۳۹ (۰) bcd	۷/۵۰ (۰) g
اوجا درجه دوم	۱۸/۹۵ (۰/۰۵) bcde	۰/۴۴ (۰/۰۱) ij	۴۳/۵۷ (۰/۳۹) cd	۹ (۰/۵) defg
اوجا درجه سوم	۱۹/۵۳ (۰/۲۳) bcd	۰/۴۶ (۰/۰۳) gh	۴۲/۶۱ (۳/۱۰) d	۱۰/۴۷ (۰/۰۹) cdef
اوجا درجه چهارم	۲۰/۱۵ (۱/۰۵) bc	۰/۴۸ (۰/۰۴) g	۴۲/۴۶ (۵/۷۳) d	۱۱ (۰) cde
شیردار درجه اول	۱۷/۱۵ (۰/۰۵) def	۰/۴۴ (۰/۰۱) ij	۳۹ (۱) e	۸/۱۵ (۰/۳۵) efg
شیردار درجه دوم	۱۸/۱۵ (۰/۱۵) cdef	۰/۴۵ (۰/۰۳) hi	۴۰/۵۴ (۳/۰۴) e	۸/۵۰ (۰) defg
شیردار درجه سوم	۱۷/۶۷ (۰/۳۰) cdef	۰/۶۷ (۰/۰۳) d	۲۶/۳۹ (۱/۶۸) g	۱۰/۶۰ (۰/۱۰) cdef
شیردار درجه چهارم	۱۸/۷۰ (۰/۲۶) bcdef	۰/۶۸ (۰/۰۲) d	۲۷/۴۱ (۱/۰۱) g	۱۱/۰۷ (۰/۳۰) cd
توسکا درجه اول	۱۴/۸۰ (۰) gh	۰/۴۱ (۰) k	۳۶/۱۰ (۰) f	۸/۳۰ (۰) defg
توسکا درجه دوم	۱۴/۹۵ (۰/۲۵) gh	۰/۴۳ (۰) ijk	۳۴/۷۷ (۰/۵۸) f	۸/۲۰ (۰) defg
توسکا درجه سوم	۱۶/۲۰ (۰/۳۲) fg	۰/۶۲ (۰/۰۱) e	۲۶/۲۷ (۰/۲۱) g	۱۲/۴۰ (۰/۲۳) c
توسکا درجه چهارم	۱۶/۴۸ (۰/۳۵) efg	۰/۷۴ (۰/۰۱) c	۲۲/۲۴ (۰/۶۲) h	۱۲/۹۶ (۰/۰۹) c
ممرز درجه اول	۱۰/۱۰ (۰) k	۰/۳۸ (۰) l	۲۶/۵۸ (۰) g	۸/۶۰ (۰) defg
ممرز درجه دوم	۱۰/۷۳ (۰/۰۳) ij	۰/۴۳ (۰) ijk	۲۵/۱۶ (۰/۱۷) g	۸/۴۷ (۰/۱۳) defg
ممرز درجه سوم	۱۲/۱۰ (۰/۱۷) i	۰/۸۵ (۰/۰۲) b	۱۴/۲۹ (۰/۳۴) i	۱۵/۳۴ (۰/۲۳) b
ممرز درجه چهارم	۱۳/۹۶ (۰/۲۷) h	۰/۹۳ (۰/۰۲) a	۱۵/۰۲ (۰/۴۰) i	۲۰/۴۴ (۰/۳۲) a

مقادیر ارائه شده در جدول به ترتیب نشان‌دهنده میانگین و اشتباه معیار می‌باشد.

بحث و نتیجه‌گیری

همان‌طور که در نتایج آورده شد، ۷۱ خشکه‌دار در ناحیه جنگلی، مورد بررسی قرار گرفت که بیشتر آن‌ها از گونه ممرز بود. ممرز از جمله گونه‌هایی است که به لحاظ داشتن ریشه‌های سطحی و بینابینی (مروی مهاجر، ۱۳۸۵) احتمال افتادن و حتی ریشه‌کن شدن در آن بیشتر از سایر گونه دیده می‌شود. از طرفی گونه‌ای مثل بلوط که کمترین تعداد خشکه‌دار را تشکیل می‌داد، به لحاظ ویژگی‌های خاص فیزیکی، دارا بودن ریشه‌های عمیق و شاخه‌های قطور، سهم کمی از خشکه‌دارها را تشکیل می‌داد. به نظر می‌رسد بیشتر پایه‌های افتاده بلوط بر اثر کهولت سن تشکیل شده باشد، در حالی که سایر گونه‌ها

بیشتر بر اثر وزش باد و ریشه کن شدن ایجاد شده اند. پراکنش خشکهدار در گونه های توسکا و ممرز برخلاف سایر گونه ها بیشتر در طبقه پوسیدگی چهارم (کاملاً پوسیده) بود. شدت پوسیدگی در گونه های مذکور به صورتی است که مراحل پوسیدگی نسبت به گونه های دیگر (به ویژه بلوط) سریع تر طی می شود (Cousins et al., 2015). شدت پوسیدگی در تنه درختان به عوامل مختلفی بستگی دارد. افزایش سرعت پوسیدگی در تنه درختان به میزان بافت های زنده، انباشت مواد غذایی، نوع و حالت لیاف، آوندها و بسیاری از عوامل دیگر وابسته است (کیا لاشکی و شعبانی، ۱۳۸۹). ممرز و توسکا از گونه هایی هستند که مقادیر زیادی از نیتروژن، فسفر و پتاسیم در بافت های خود ذخیره می نمایند (Motta, 2006; Mboukou et al., 2007). وجود مواد غذایی زیاد سبب می شود که تجمع میکروارگانیسم ها در بافت های خشکهدار افزایش یابد (Fortier et al., 2019). وجود میکروارگانیسم، از طرق مختلف سرعت پوسیدگی را افزایش می دهد. اول آن که تجمع میکروارگانیسم ها منجر به افزایش مصرف از بافت های مختلف خشکهدار می گردد (Feng et al., 2018). در وهله دوم فراوانی بالای میکروارگانیسم ها، میزان دی اکسید کربن را در خشکهدار افزایش می دهد (Knapp, 2015). دی اکسید کربن در تخریب دیواره سلولی نقش بسزایی دارد. ضمن آن که دی اکسید کربن دمای درون تنه های افتاده را افزایش داده و زمینه را برای فعالیت انواع موجودات آماده می نماید (Kahl et al., 2015).

با وجود اینکه خشکهدارها حجم کمی از هر زیست بوم جنگلی را در بر گرفته اند، اما به علت نقش عمده ای که در برگشت مواد ذخیره شده به خاک دارند، از اهمیت زیادی برخوردار هستند (Wang et al., 2020; Djongmo et al., 2018). کربن به عنوان ماده تأمین کننده انرژی، جهت سوخت و ساز در بافت های گیاهی شناخته می شود (Köster et al., 2015). نتایج تجزیه به مؤلفه های اصلی، همبستگی نزدیکی بین خشکهدارهای ممرز و توسکا با عناصر غذایی و زی وزن کرم های خاکی را نشان داد. این رابطه در خشکهدارهای با میزان پوسیدگی بالا (درجه چهارم) نیز مشاهده شد. نیتروژن، به عنوان یکی از اساسی ترین عناصر غذایی شناخته می شود. مطالعات صورت گرفته در جنگل های آمریکا نشان داده است که خشکهدارها بهترین منبع تثبیت نیتروژن در بستر عرصه های جنگلی است (Zhou et al., 2007). دو گونه مورد بررسی، از درختان تثبیت کننده نیتروژن می باشند (Salehi et al., 2007). بدیهی است در ادامه نقش خود به عنوان خشکهدار، بخش زیادی از نیتروژن درون بافت های خود را به طبیعت باز می گردانند. نفوذ نیتروژن به خاک در آخرین مرحله پوسیدگی، به بیشترین میزان خود رسیده بود. در مراحل اولیه پوسیدگی و به علت استحکام زیاد تنه، شستشوی مواد و انتقال آن ها با سرعت پایین تری انجام می شود، ولی در ادامه با سست و تکه تکه شدن قطعات چوبی، آزادسازی ازت از بافت ها شدت می یابد و جذب ازت در خاک نیز بیشتر می شود (Kim et al., 2017; Schleppei et al., 2019). این مسئله برای فسفر و پتاسیم نیز تکرار شده است (Meller et al., 2019). اگر چه تمامی

مناطق نزدیک خشکه‌دارهای توسکا و ممرز، میزان فسفر قابل جذب و پتاسیم بیشتری داشتند، لیکن در طبقه پوسیدگی چهارم این مسئله تشدید پیدا کرده بود. مطالعات کاستر و همکاران (Köster et al., 2015) به خوبی نشان می‌دهد که ارتباط معنی‌داری بین تثبیت نیتروژن و سایر عناصر تغذیه‌ای خاک وجود دارد.

در بررسی حاضر، کمترین میزان pH در نزدیکی خشکه‌دار بلوط مشاهده شد؛ که به خاصیت اسیدی بودن بافت‌های مختلف این گونه حین تجزیه برمی‌گردد (Neina, 2019). در اوایل مراحل پوسیدگی، به‌ویژه در مراحل میانی به علت خام بودن مواد آلی و میزان لیگنین بیشتر، هوموس تشکیل یافته حالتی اسیدی دارد که خاک را نیز اسیدی می‌نماید (Neina, 2019)؛ لذا باگذشت زمان و تجزیه بیشتر مواد، شرایط تغییر کرده و از میزان اسیدی بودن کاسته می‌شود که با نتایج بررسی بابر و همکاران (Baber et al., 2016) مطابقت دارد. حضور هر عنصر غذایی، قبل از وجود هر عامل ثانوی دیگر، به میزان رطوبت خاک وابسته است (Piaszczyk et al., 2020). به‌عبارت‌دیگر، کلیه اعمال شیمیایی و بیوشیمیایی خاک در ارتباط با درصد رطوبت خاک قرار دارد (Piaszczyk et al., 2020). متلاشی شدن، آزادسازی عناصر و انرژی درون تنه‌ها بدون میزان رطوبت کافی غیرممکن است (Albanesi et al., 2005). در مراحل اولیه، بافت‌های چوبی حالت زیر و خشن داشته و پتانسیل نگهداری آب در آن‌ها پایین است؛ ولی باگذشت زمان و تبدیل آن‌ها به حالت اسفنجی، ذخیره رطوبت با توان بالاتری انجام می‌گیرد، که منجر به افزایش رطوبت در خاک حاشیه خشکه‌دار می‌گردد (Piaszczyk et al., 2020) که با مطالعات تاکاهاشی و همکاران (Takahashi et al., 2000) در این زمینه مطابقت دارد.

بافت‌های سازنده گونه‌های مختلف، درصد‌های مختلفی از کربن را در خود ذخیره می‌نمایند. وجود کربن بیشتر در اطراف خشکه‌دار گونه بلوط که دارای مواد لیگنینی فراوان است، می‌توانست قابل‌تصور باشد. بالا بودن حجم و تراکم مواد آلی تنه بلوط، در این میان نقش عمده‌ای دارد (Lakyda et al., 2019). مونتاگنولی و همکاران (Montagnoli et al., 2019) در مطالعات خود گزارش نموده‌اند که بیشترین مقدار کربن در بین خشکه‌دارها، به تنه و خاک اطراف پایه افتاده بلوط تعلق داشته است. با افزایش تجزیه مواد کربن‌دار در تنه‌های افتاده، خاک با حجم زیادی از مواد حاوی کربن مواجه می‌شود (Zhou et al., 2019). از این‌رو، خاک اطراف پایه بلوط، معمولاً از نسبت کربن به نیتروژن بیشتری نسبت به سایرین برخوردار است (Zhou et al., 2019). تغییرات مواد غذایی و عناصر موردبررسی در خاک، بر روی کرم‌های خاکی نیز اثرگذار بوده است. در بررسی حاضر بیشترین زی‌وزن کرم‌های خاکی در اطراف خشکه‌دار ممرز و توسکا و همچنین در پایه‌های با درجه پوسیدگی بیشتر مشاهده شد. جمعیت و زی‌وزن کرم‌های خاکی به‌شدت تحت تأثیر مواد غذایی به‌ویژه نیتروژن خاک، pH بالاتر،

میزان C/N پایین تر و رطوبت خاک قرار دارد (کوچ، ۱۳۸۶). ضمن این که همواره رابطه‌ای دوسویه بین کرم خاکی و تجزیه مواد برقرار است. مطالعات سفیدی و همکاران (Sefidi et al., 2013)، جانسون و همکاران (Jansson et al., 2016) به خوبی نشان‌دهنده جایگاه خشکه‌دار در زیست‌بوم‌های جنگلی می‌باشد.

بررسی جایگاه خشکه‌دار، از مهم‌ترین عوامل شناخت پویایی در هر زیست‌بوم جنگلی به حساب می‌آید. مطالعه پیش رو به بررسی تأثیر خشکه‌دارهای افتاده بر مشخصه‌های شیمیایی خاک دریکی از مناطق جنگلی شمال کشور پرداخت. علیرغم نقش‌های مثبت حضور خشکه‌دارها بر مشخصه‌های موردبررسی و افزایش حاصلخیزی خاک جنگل، امروزه تنها بخش بسیار کوچکی از خشکه‌دارها (حدود ۱۰ درصد) را در عرصه جنگلی باقی می‌گذارند و مازاد آن‌ها، از عرصه جنگلی خارج می‌شود. بدیهی است با این شرایط، خرد رویشگاه‌های به وجود آمده از شکل‌گیری خشکه‌دار، از سطح جنگل نابود می‌شود. لذا یافته‌های این پژوهش اکیداً به جنگل‌شناسان و نشانه‌گذاران پیشنهاد می‌نماید که علاوه بر کاهش خروج خشکه‌دار از عرصه‌های جنگلی، در انتخاب خشکه‌دارهای مازاد جهت خروج، دقت بیشتری داشته باشند. رعایت این مسئله، به‌ویژه برای خشکه‌دارهای ممرز که عمدتاً از ارزش بالای تجاری برخوردار نیستند بسیار حائز اهمیت است.

منابع

- بی‌نام. ۱۳۹۰. طرح جنگل‌داری سرچشمه، حوزه آبخیز شماره ۳۹ مرزن آباد، اداره کل منابع طبیعی نوشهر، ۴۸۵ صفحه.
- سفیدی، ک.، مروی مهاجر، م.ر.، زبیری، م.، اعتماد، و. ۱۳۸۶. بررسی تأثیر خشکه‌دار در استقرار نهال‌های راش و ممرز در جنگل آمیخته راش، تحقیقات جنگل و صنوبر ایران، ۱۵ (۴): ۳۶۵-۳۷۳.
- علیدادی، ف.، مروی مهاجر، م.ر.، اعتماد، و.، سفیدی، ک. ۱۳۹۳. پویایی پوسیدگی خشکه‌دارهای راش و ممرز در یک جنگل آمیخته، فصلنامه علمی - پژوهشی تحقیقات جنگل و صنوبر ایران، ۲۲ (۴): ۶۲۴-۶۳۵.
- غازان‌شاهی، ج. ۱۳۸۵. آنالیز خاک و گیاه، انتشارات هما، ۲۷۲ صفحه.
- کوچ، ی. ۱۳۸۶. تعیین و تفکیک واحدهای اکولوژیک گیاهی و ارتباط آن‌ها با برخی ویژگی‌های خاک در جنگل‌های پایین‌بند خانیکان چالوس، پایان‌نامه کارشناسی ارشد جنگلداری، دانشگاه علوم کشاورزی و منابع طبیعی ساری، ۱۱۸ صفحه.
- کیا لاشکی، ع.، شعبانی، س. ۱۳۸۹. تأثیر اکولوژیک خشکه‌دارها روی ویژگی‌های خاک در اکوسیستم جنگلی لیره‌سر تنکابن، اکوسیستم‌های طبیعی ایران، ۱ (۲): ۱۲۲-۱۲۹.
- مروی مهاجر، م. ۱۳۸۵. جنگل‌شناسی و پرورش جنگل، انتشارات دانشگاه تهران، ۳۸۷ صفحه.

- Aakala, T., Kuuluvainen, T., Gauthier, S., De Grandpre, L. 2008. Standing dead trees and their decay–class dynamics in the northeastern boreal old–growth forests of Quebec, *Forest Ecology and Management*, 255: 410–420.
- Albanesi, E., Gugliotta, O.I., Mercurio, I., Mercurio, R. 2005. Effects of gap size and within–gap position on seedlings establishment in silver fir stands, *Society of Silviculture and Forest Ecology*, 2(4): 358–366.
- Angers, V. A., Messier, C., Beaudet, M., Ledu, A. 2005. Comparing composition and structure in old–growth and harvested (selection and diameter–limit cuts) northern hardwood stands in Quebec, *Forest Ecology and Management*, 217: 275–293.
- Baber, K., Otto, P., Kahl, T., Gossner, M.M., Wirth, C., Gminder, A., Bässler, C. 2016. Disentangling the effects of forest–stand type and dead–wood origin of the early successional stage on the diversity of wood–inhabiting fungi, *Forest Ecology and Management*, 377: 161–169.
- Bagne, K.E., Purcell, K.L., Rotenberry, J.T. 2008. Prescribed fire, snag population dynamics, and avian nest site selection, *Forest Ecology and Management*, 255: 99–105.
- Brunner, A., Kimmins J.P. 2003. Nitrogen fixation in coarse woody debris of *Thuja plicata* and *Tsuga heterophylla* forests on northern Vancouver Island, *Canadian Journal of Forest Research*, 33: 1670–1682.
- Cousins, S.J.M., Battles, J.J., Sanders, J.E., York, R.A. 2015. Decay patterns and carbon density of standing dead trees in California mixed conifer forests, *Forest Ecology and Management*, 353: 136–147.
- Djongmo, A.W., Noumi, V.N., Zapfack, L., Madou, C., 2020. Carbon Stocks in Dead Wood Biomass of Savannah Ecosystems in Northern Region Cameroon, *Journal of Botany Research*, 2 (1): 60–70.
- Feng, C., Wang, Z., Zhu, Q., Fu, S., Chen, H.Y., 2018. Rapid increases in fine root biomass and production following cessation of anthropogenic disturbances in degraded forests, *Land Degradation & Development*, 29: 461–470.
- Fortier, J., Truax, B., Gagnon, D., Lambert, F., 2019. Abiotic and biotic factors controlling fine root biomass, carbon and nutrients in closed-canopy hybrid poplar stands on post-agricultural land, *Scientific Reports*, 9: 6296.
- Harmon, M.E., Franklin, J.F., Swanson, F.J., Sollins, P., Gregory, S.V., Lattin, J.D., Anderson, N.H., Cline, S.P., Aumen, N.G., Sedell, J.R., Lienkaemper, G.W., Cromack, K., Cummins, K.W. 1986. Ecology of coarse woody debris in temperate ecosystems, *Advances in Ecological Research*, 15: 133–302.
- Johnston, J. M., Crossley, D. A. 1994. The Significance of Coarse Woody Debris for the Diversity of Soil Mites. General Technical Report SE–94, Athens, 18–20 October, 82–87.
- Jonsson, B.G., Ekström, M., Esseén, P.A., Grafström, A., Stahl, G., Westerlund, B. 2016. Dead wood availability in managed Swedish forests – Policy outcomes

- and implications for biodiversity, *Forest Ecology and Management*, 376: 174–182.
- Kahl, T., Baber, K., Otto, P., Bauhus, J., Wirth, C., 2015. Drivers of CO₂ emission rates from dead wood logs of 13 tree species in the initial decomposition phase, *Forests*, 6 (7): 2484-2504.
- Kim, S., Li, G., Han, S.H., Chang, H., Kim, H.-J., Son, Y., 2017. Differential Effects of Coarse Woody Debris on Microbial and Soil Properties in *Pinus densiflora* Sieb. et Zucc. *Forests*, 8 (8): 292.
- Knapp, E.E. 2015. Long-term dead wood changes in a Sierra Nevada mixed conifer forest: Habitat and fire hazard implications, *Forest Ecology and Management*, 339: 87–95.
- Köster, K., Metslaid, M., Engelhart, J., Köster, E. 2015. Dead wood basic density, and the concentration of carbon and nitrogen for main tree species in managed hemiboreal forests, *Forest Ecology and Management*, 354: 35–42.
- Lakyda, P., Shvidenko, A., Bilous, A., Myroniuk, V., Matsala, M., Zibtsev, S., Schepaschenko, D., Holiaka, D., Vasylyshyn, R., Lakyda, I., Diachuk, P., Kraxner, F., 2019. Impact of Disturbances on the Carbon Cycle of Forest Ecosystems in Ukrainian Polissya, *Forests*, 10 (4): 337, 24 pp.
- Mboukou – Kimbasta, I., Bernhard – Reversat, F., Loumeto, J., Ngao, J., Lavelle, P. 2007. Understory vegetation, soil structure and soil invertebrates in Congolese eucalypt plantations, with special reference to the invasive plant *Chromolaena odorata* and earthworm populations, *European Journal of Soil Biology*, 43: 48–56.
- Meller, S., Frossard, E., Luster, J., 2019. Phosphorus Allocation to Leaves of Beech Saplings Reacts to Soil Phosphorus Availability, *Frontiers in Plant Science*, 10: 744.
- Montagnoli, A., Dumroese, R.K., Terzaghi, M., Onelli, E., Scippa, G.S., Chiatante, D., 2019. Seasonality of fine root dynamics and activity of root and shoot vascular cambium in a *Quercus ilex* L. forest (Italy), *Forest Ecology and Management*, 2019, 431: 26–34.
- Motta, R. 2006. Coarse woody debris, forest structure and regeneration in the valbona forest reserve management, *Forest Ecology and Management*, 7: 124–132.
- Muscolo, A., Sidari, M., Mercurio, R. 2007. Influence of gap size on organic matter decomposition, microbial biomass and nutrient cycle in Calabrian pine (*Pinus laricio*, Poiret) stands, *Forest Ecology and Management*, 242: 412–418.
- Nappi, A., Drapeau, P., Leduc, A. 2015. How important is dead wood for woodpeckers foraging in eastern North American boreal forests?, *Forest Ecology and Management*, 346: 10–21.
- Neina, D., 2019. The role of soil pH in plant nutrition and soil remediation, *Applied and Environmental Soil Science*, 5794869, 1–9.

- Piaszczyk, W., Lasota, J., Błońska, E., 2020. Effect of Organic Matter Released from Deadwood at Different Decomposition Stages on Physical Properties of Forest Soil, *Forests*, 11 (1): 24.
- Salehi, A., Zahedi Amiri, G.H., Burslem D., Swaine, M.D. 2007. Relationships between Tree Species Composition, Soil Properties and Topographic Factors in a Temperate Deciduous Forest in Northern Iran, *Asian Journal of Plant Sciences*, 6 (3): 455–462.
- Schleppi, P., Körner, C., Klein, T., 2019. Increased Nitrogen availability in the soil under mature *picea abies* trees exposed to elevated CO₂ concentrations, *Frontiers in Forests and Global Change*, 2: 59.
- Sefidi K, Esfandiary Darabad F, Azarian M. 2016. Effect of topography on tree species composition and volume of coarse woody debris in an Oriental beech (*Fagus orientalis* Lipsky) old growth forests, northern Iran, *iForest*, 9: 658–665.
- Sefidi, K., Etemad, V. 2015. Dead wood characteristics influencing macrofungi species abundance and diversity in Caspian natural beech (*Fagus orientalis* Lipsky) forests, *Forest Systems*, 24 (2): 1–9.
- Sefidi, K., Marvie Mohadjer, M.R., Mosandl, R., Copenheaver, C.A. 2013. Coarse and Fine Woody Debris in Mature Oriental Beech (*Fagus orientalis* Lipsky) Forests of Northern Iran, *Natural Areas Journal*, 33 (3): 248–255.
- Spears J.D.H., Lajtha, K. 2004. The imprint of coarse woody debris on soil chemistry in the western Oregon Cascades, *Biogeochemistry*, 71: 163–175.
- Takahashi, M., Sakai, Y., Ootomo, R., Shiozaki, M., 2000. Establishment of tree seedlings and water-soluble nutrients in coarse woody debris in an old-growth *Picea-abies* forest in Hokkaido, northern Japan, *Canadian Journal of Forest Research*, 30: 1148–1155.
- Van Der Meer P.J., Dignan P., Savenh A.G. 1999. Effect of gap size on seedling establishment, growth and survival at three years in mountain ash (*Eucalyptus regnans*) forest in Victoria, Australia, *Forest Ecology and Management*, 117: 33–42.
- Wang, C., Chen, Z., Brunner, I., Zhang, Z., Zhu, X., Li, J., Yin, H., Guo, W., Zhao, T.-H., Zheng, X., Wang, S., Geng, Z., Shen, S., Jin, D., Li, M.-H. 2018. Global patterns of dead fine root stocks in forest ecosystems, *Journal of Biogeography*, 45: 1378–1394.
- Zhou, G., Xu, S., Ciais, P., Manzoni, S., Fang, J., Yu, G., Tang, X., Zhou, P., Wang, W., Yan, J., Wang, G., Ma, K., Li, S., Du, S., Han, S., Ma, Y., Zhang, D., Liu, J., Liu, S., Chu, G., Zhang, Q., Li, Y., Huang, W., Ren, H., Lu, X., Chen, X., 2019. Climate and litter C/N ratio constrain soil organic carbon accumulation, *National Science Review*, 6 (4), 746–757.
- Zhou, L., Dai, L., Gu, H., Zhong, L., 2007. Review on the decomposition and influence factors of coarse woody debris in forest ecosystem, *Journal of Forest Research*, 18: 48–54.

Yong-Zhong, S., Yu-Lin, C., Jian-Yuan, L., Wen-Zhi, Z., 2005. Influences of continuous grazing and livestock exclusion on soil properties in a degraded sandy grassland, Inner Mongolia, northern China, *Catena*, 59: 267–278.